

電気式コーン貫入試験(CPTU)による液状化判定について

CPTU 液状化 塑性指数

ソイルアンドロックエンジニアリング(株) 正会員 ○重富正幸
 同上 正会員 石井正紀
 同上 正会員 松浦良信
 同上 国際会員 後藤政昭
 大阪公立大学大学院 国際会員 大島昭彦

1.はじめに

標準貫入試験(以降、SPTと記す)と採取試料による室内土質試験の結果(細粒分含有率 F_c と塑性指数 I_p)から得られる液状化指標(以降、 P_L 値と記す)は、電気式コーン貫入試験(以降、CPTUと記す)の結果から得られる P_L 値に差異が生じるケースがある。この差異は、CPTUで推定した換算 F_c (以降、 F_c' と記す)と F_c の差異や、CPTUの結果から I_p を直接求めることができないことによる液状化判定対象土層の層厚の差が影響していると考えられる。筆者らは第54回地盤工学研究発表会にて、 I_p を考慮した液状化判定対象土層として、 $F_c' \leq 35\%$ 並びに $F_c' > 35\%$ かつRobertsonの $Q_t - F_t$ による土質分類チャート¹⁾において分類番号4以上の土層(以降、SBT4以上の土層と記す)とすることで、CPTUによる液状化判定対象土層の層厚がSPT等の結果を用いた層厚とおおよそ一致すると報告した²⁾。しかしながら、この報告後、国内12地点で実施したSPTとその近傍で実施したCPTUの結果を用いてSBT4以上の土層を含めた液状化判定を行ったところ、一部の地点についてSPT等による P_L 値よりCPTUの P_L 値が明らかに過大となる場合があることを確認した。

本報告では、CPTUの結果から $F_c > 35\%$ かつ $I_p \leq 15$ となる液状化判定対象土層の新たな推定方法を提案するとともに、SPT等の結果による P_L 値とCPTUのSBT4以上の土層を含めた P_L 値、今回新たに提案する方法による P_L 値の比較を行った。

2. $F_c > 35\%$ かつ $I_p \leq 15$ の土層推定

建築基礎構造設計指針2019における液状化判定対象土層は、地表面から20mまでの飽和土層(条件①)で、 $F_c \leq 35\%$ の土(条件②)、 $F_c > 35\%$ であっても $I_p \leq 15$ の土または粘土分10%以下の土(条件③)としている³⁾。条件①は試験地点の地下水位から、条件②はCPTUの結果から鈴木らの提案式⁴⁾を用いることである程度判別することができる。条件③は第54回の報告で、 $F_c' > 35\%$ かつSBT4以上の土層を液状化判定対象土層に含めていた。しかし、第54回の報告以降国内12地点の調査結果について液状化判定対象土層の確認を行ったところ、図-1に示すようにSBT4以上の土層に $I_p > 15$ となる土層が含まれるケースがあることが判明した。

そこで I_p と透水係数には相関があることに着目し、CPTUで測定される値のうち、透水係数と相関のある間隙水圧と I_p の関係について整理した(透水係数の低い粘性土ではコーン貫入に伴い生じる間隙水圧の消散速度が遅いため過剰間隙水圧として計測され、透水係数の高い砂質土ではコーン貫入に伴い生じる間隙水圧の消散速度が速いためほぼ静水圧または負の間隙水圧として計測される)。図-2はこれまでにSPTとCPTUの比較を実施した国内12地点で採取した試料の室内土質試験結果のうち、 $I_p \leq 15$ となる土層で測定された u を基準化した間隙水圧比 B_q (= $(u - u_0)/(q_t - \sigma_{vo})$, u_0 : 静水圧, σ_{vo} : 全応力, q_t : 補正コーン貫入抵抗)に変換し、その分布を累積相対度数で表したものである。なお、液性限界もしくは塑性限界がNPの場合は、便宜的に $I_p = 0$ とした。図-2から $I_p \leq 15$ となる土層のうち8割以上が $B_q \leq 0.05$ であることがわかる。このことから、 $I_p \leq 15$ の土層は $B_q \leq 0.05$ となると判断し($F_c' > 35\%$ も考慮して液状化判定対象土層の条件③を満たすと判断)，次章以降に液状化判定対象土層の比較結果を示す。

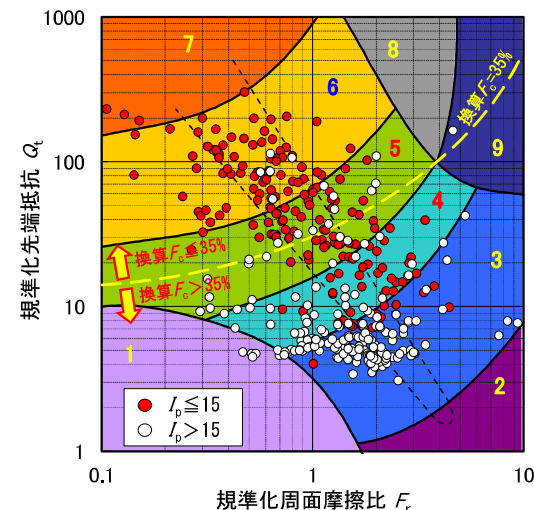


図-1 $I_p \leq 15$ となる土層(SBT)の分布

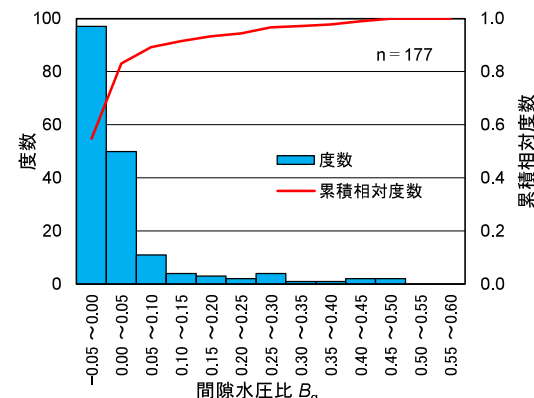


図-2 $I_p \leq 15$ となる土層の相対度数

Liquefaction Determination by Electric Cone Penetration Test (CPTU).

Masayuki Shigetomi, Masanori Ishii, Yoshinobu Matsuura, Masaaki Goto, Soil and Rock Engineering Co.,Ltd.
 Akihiko Oshima, Osaka Metropolitan University

3. 液状化判定対象土層等の比較

図-3は、国内12地点のうち特徴的な4地点で実施したSPT、室内土質試験およびCPTUの結果を用いた液状化判定対象土層の比較図である。CPTUの液状化判定対象土層は、 $F_c' \leq 35\%$ （ケース①）、 $F_c' \leq 35\%$ および $F_c' > 35\%$ かつ $I_p \geq 15$ 以上（ケース②）、 $F_c' \leq 35\%$ および $F_c' > 35\%$ かつ $B_q \leq 0.05$ （ケース③）の3ケースについて分類した。

地点A、BのSPT等とCPTUの液状化判定対象土層の層厚とその分布は、ケース①ではSPT等に比べ薄くなるが、ケース②、③ではSPT等と比べ大差なく、両ケースについても大差はない。しかしながら、地点C、Dについてはケース①では地点A、B同様、SPT等に比べ薄くなるが、ケース②では層厚が過大で、地点Cについては分布も異なる。これに対し、ケース③の対象土層は、両地点ともケース②に比べ層厚、分布ともSPT等による対象土層とよく一致することがわかる。図-4は図-3に示した4地点を含めた国内12地点のSPT等の結果による液状化判定対象土層の層厚とCPTUの結果（3ケース）を用いた液状化判定対象土層の層厚に関する比較図である。ケース①では、大半が液状化判定対象土層をSPT等によるそれよりも過小評価し、ケース②では、SPT等によるそれと同等の地点もあるが、5m以上厚く過大評価する地点が散見される。これに対しケース③では、両者はよく一致している。

図-5は、上記に示すSPT等とCPTU（3ケース）から求めた液状化判定対象土層に対して建築基礎構造設計指針2019により求めた P_L 値の比較図である。なお、CPTUの P_L 値を算出するにあたり、換算 N 値は鈴木らの提案式⁴⁾による式を用いるとともに、パラメータとしてマグニチュード7.5、水平最大加速度 $\alpha=3.50\text{m/s}^2$ を適用した。

CPTUの P_L 値はケース①では、 $F_c' > 35\%$ かつ $I_p \leq 15$ 以下の土層が液状化判定対象土層に含まれていないこともありCPTUの P_L 値がSPT等のそれより小さくなっている地点があるのに対し、ケース②ではCPTUの P_L 値がSPT等と同等となる地点もあるが、SPT等に比べ P_L 値 ≥ 20 となる地点が散見される。ケース③ではケース②よりSPT等との差は小さくなっているものの、 P_L 値 ≥ 10 となる地点が存在する。

N 値と換算 N 値の関係を図-6に、 F_c と F_c' の関係を図-7に示す。 N 値と換算 N 値については、若干換算 N 値が低い傾向が認められるが両社に明確な差異は認められない。これに対し F_c と F_c' は N 値と換算 N 値の関係と比較して大きなばらつきを有している。これは、試料採取位置と試験位置の差異やそれぞれの試験深度の差異によるばらつき、粒度分布等が寄与していると考えるが、現時点では明確な理由は不明である。

4.まとめと今後の課題

今回提案した $F_c' > 35\%$ かつ $B_q \leq 0.05$ となる土層を $F_c > 35\%$ かつ $I_p \leq 15$ の土層として、SPT等による液状化判定対象土層により近い対象土層を得ることができた。しかしながら、 F_c と F_c' の差異が P_L 値に反映していることが確認できた。したがって、 F_c' の精度を向上することができれば、SPT等と同等の液状化判定をCPTUのみで迅速に行うことができる可能性が見出せたことから、今後は F_c' の精度向上を検討していく所存である。

参考文献

- 1) P. K. Robertson: Soil classification using the cone penetration test, Canadian Geotechnical Journal, Vol.27, No.1, pp.151-158, 1990.
- 2) 米田ほか：大阪市港区弁天町地区でのRI-CPTによる液状化判定, 第54回地盤工学研究発表会
- 3) 日本建築学会：建築基礎構造設計指針, p.50, 2019
- 4) 鈴木康嗣, 時松考次, 實松俊明：コーン貫入試験結果と標準貫入試験結果から得られた地盤特性との関係, 日本建築学会構造系論文集, 第566号, pp.73-80, 2003.4

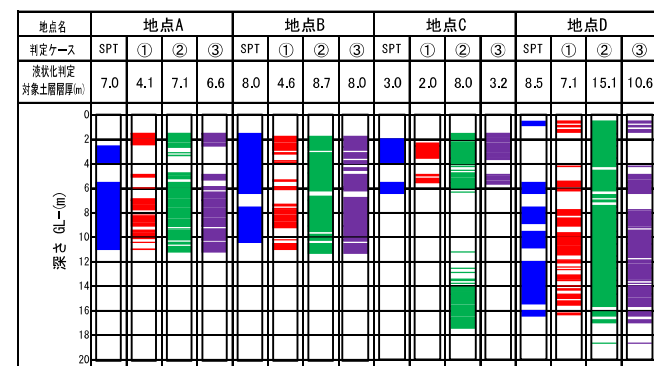


図-3 液状化判定対象土層の比較

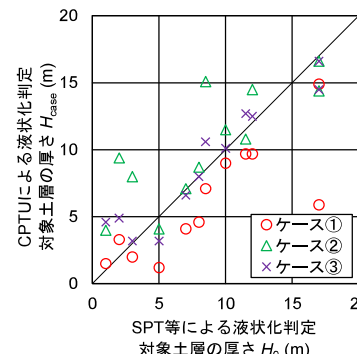


図-4 液状化判定対象土層の層厚比較

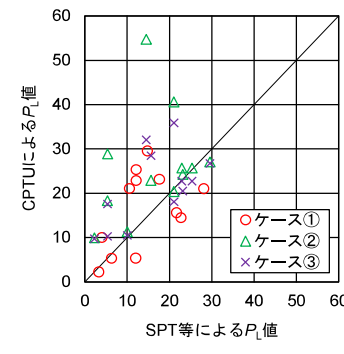


図-5 SPT等とCPTUによる P_L 値の比較

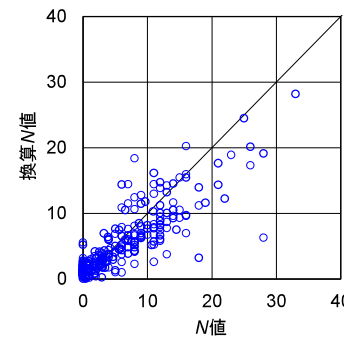


図-6 N 値と換算 N 値の比較

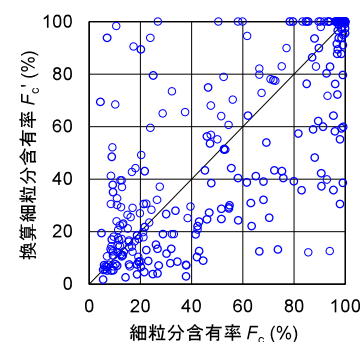


図-7 F_c と F_c' の比較